

東大生研 正員 田村重四郎
東大生研 正員 加藤勝行
東大大學院 學員 ○中村 豊

1. はじめに

近年、地下鉄路線の伸張に伴って、隣接建設物に関する騒音、振動問題が発生するようになり、隣接建設物での騒音、振動を低減するためには種々の対応策がとられている。対応策の一例について、効果を確かめるための振動測定を実施したので、結果の一部を報告する。

2. 測定場所、測定計器、分析方法

調査地表は、既存建物に隣接して地下鉄が走行している地表で、既存建物との騒音、振動を低減するために特殊な軌道構築方式が採用されている。即ち、防振杭と称する杭の上に軌道を架け渡し、これと構築本体とを絶縁して、車両走行によって軌道に生じた振動を構築を経ることなく直接、地盤へ伝える方式になっている。測定断面と測定及び地盤柱状図を図-1に示す。矢印は振動測定方向をあらかじめいる。

計器は、圧電型加速度計、歪ゲージ型加速度計及びサボ型加速度計を使用した。振動は、3台のデータレコーダに記録し、同期信号を入れて、互いのデータの同時刻性を確保している。

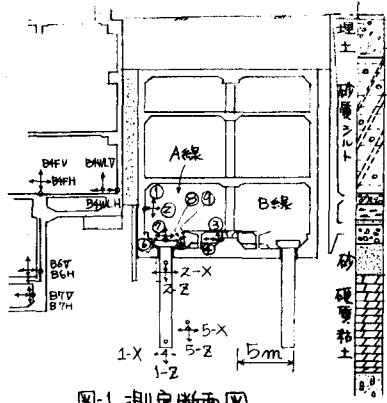


图-1 测定断面图

鏡面走行下加速度波形を観察した結果、列車の特性として先頭車両と後部車両にフリートが少なくて、その他の中間車両にはかなりのフリートがあることがわかった。この特性を利用して、波動の伝播、フリートの影響を調査した。

動道上体60kg

の燃焼部を通過する場合、給油部のカスカニア凹凸によつても振動が発生することわかつた。(図-2)

上ト振動の波形をみると、始終基部で発生した図-4に示すような波形か、隣接柱の側壁上に波形を描くと測定で観測され^E。この波形の対応から振動の伝達時間^⑦道床を基準にして求めると表-1のようである。波動が構築を経て伝わるとするとレル綫目^C、⑦測定、⑧A綫側下床

との距離はほぼ等しいからレール維持で発生した波動は⑦、⑧の両測定に同時に到達する。図-3 加速度波形は表-1に示すように⑧測定は⑦測定にからべて(25~30)10000秒おくれて波動が到達している。また、①A側壁に波動の到達する時間は⑦測定と基準とすると約1/1000秒おくれることが認められていて。これらのことは、杭と構築が一体となって挙動していなることを示していると考えられる。また波動がB7D, B6D, B4FDに到達する場合、それだけ(265~275)10000秒、(270~276)10000秒おいて(281~285)10000秒を要していく。

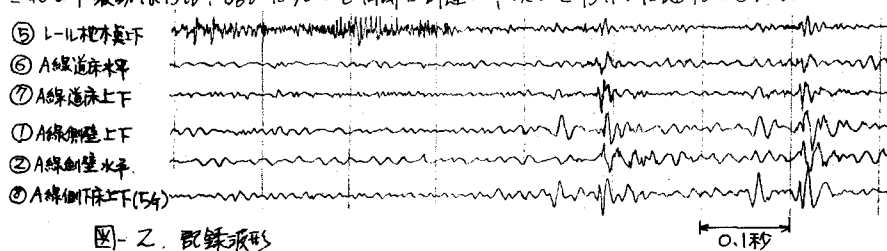


圖-2. 配鍊形

表-1 上下振動の到達時間 (単位:秒) 測定箇所	
測定箇所	到達時間
L-11 最外側床面	(41~50)
⑦道床	0
Z-3	Z-3
1-Z	13~37
⑧A級側下床	25~30
5-Z	49~95
B7V	265~275
B6V	270~276
B4EV	281~286

そこで、波動が杭より円筒状波面で周囲に伝播すると仮定すると、杭とB6D, B7Dまでの距離は約10mであるから、この間の硬質粘土（土丹）中を伝わる波動の速度は、ほぼ400m/sになり、S波の伝播速度とみられる。

水平振動では、上下振動のように各測定点に対応のつく波形はなく、振動加速度レベルも上下振動にくらべて一般に小さい。

4. フラットの有無による最大加速度の変化

フラットのない車両がレールの踏面総合部を通過すると同時に発生する振動をフラットのない場合の振動といい、車両のフラットによって生ずる振動をフラットのある場合の振動といふことにする。

フラットのある場合とない場合の最大加速度（全振巾）を表され表2、表3に示す。表より、測定した範囲の走行速度では、フラットのない場合は走行速度とともに最大加速度は大きくなるのに對して、フラットのある場合、最大加速度は走行速度によらず、ほぼ一定の値をもち、その値は、走行速度40km/hのフラットのない場合の値の3~4倍である。

表-2 フラットのある場合の最大加速度（全振巾、A線走行側）

速度	①	②	③	④	⑦	⑧	⑨
41km/h	20.0 ⁴⁰²	18.1 ⁴⁰²	25.6 ⁴⁰²	18.9 ⁴⁰²	10.0 ⁴⁰²	11.0 ⁴⁰²	12.2 ⁴⁰²
42	21.2	18.2	22.0	18.3	10.8	8.9	100
44	20.8	19.6	22.6	18.9	11.2	9.7	12.2
51	20.0	20.0	23.2	18.7	11.8	8.9	13.3
55	20.2	20.4	23.3	19.9	10.8	10.2	12.0

表-3 フラットのない場合の最大加速度（全振巾、A線走行側）

速度	①	②	③	④	⑦	⑧	⑨
41km/h	7.89 ⁴⁰²	4.16 ⁴⁰²	10.6 ⁴⁰²	9.75 ⁴⁰²	21.7 ⁴⁰²	36.0 ⁴⁰²	31.3 ⁴⁰²
42	7.05	5.75	12.8	8.82	22.9	37.7	37.4
44	6.45	4.53	11.4	9.04	22.0	37.2	43.3
51	9.69	6.85	19.0	13.3	27.1	54.6	55.0
55	12.0	5.76	19.3	10.6	28.6	61.9	60.8

5. フラットの有無による構築振動の周波数特性の変化

列車がA線を5%勾配で走行する場合の構築内各測定点における振動の周波数分析（分析長1.0秒、サンプリング間隔1/2000秒）した結果を、その卓越する順序と併せて表4に示す。この表より、フラットのない場合には、80Hz、60Hzの振動が卓越し、フラットのある場合には各測定点で④A線側壁下床平行水平（0.532）、⑦道床上下（0.517）、⑨道床面上下（0.507）とれども、た振動数の振動が卓越していることがわかる。⑦道床の上下振動について、フラットのある場合のスコットル図を重ねて図-4に示す。これからフラットのある場合の振動は、フラットのない場合の振動に100~300Hzの振動が付加されたものである事がわかる。各測定点フラットのない場合の振動レベルに対するフラットのある場合の振動レベルの比を、振動数に対してプロットすると図-5のようになる。一般に100~300Hzの振動が強調され(3.0)2でいることがわかる。

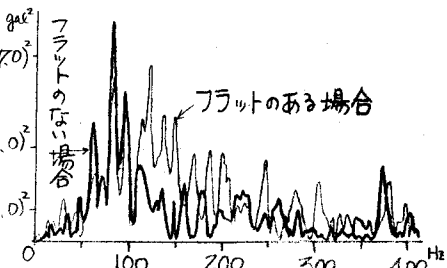
6.まとめ

以上により①軌道と構築を絶縁した構築構造によって、地盤へ伝わる振動と構築の振動が分離されることは、②測定した範囲内の走行速度では、フラットの影響が大きくあらわれ、フラットの存在により100~300Hzの振動が加わり、最大加速度が大きくなることがわかった。

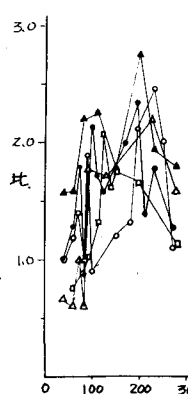
おわりに、本研究により、首都高連絡交流官道が測定の面とこれらを補力に付し、謝意を表します。

表-4 卓越順序に並べた振動数と大きさ

測定点	フラットのない場合			フラットのある場合		
	上段：H2、下段：402	上段：H2、下段：402	上段：H2、下段：402	上段：H2、下段：402	上段：H2、下段：402	上段：H2、下段：402
1	58	80	64	87.5	60	109
2	(0.250) ²	(0.214) ²	(0.202) ²	(0.246) ²	(0.338) ²	(0.303) ²
3	60	81	24	131	95	146
4	(0.315) ²	(0.250) ²	(0.245) ²	(0.294) ²	(0.285) ²	(0.273) ²
5	82	40	61	83	60	74
6	(1.03) ²	(0.559) ²	(0.544) ²	(0.885) ²	(0.615) ²	(0.443) ²
7	60	42	68	60	36	70
8	(0.332) ²	(0.517) ²	(0.263) ²	(0.430) ²	(0.517) ²	(0.507) ²
9	82	95	61	120	83	94
10	(7.64) ²	(6.35) ²	(5.63) ²	(6.87) ²	(6.76) ²	(6.47) ²
11	82	97	74	85	94	72
12	(3.22) ²	(1.69) ²	(1.63) ²	(3.86) ²	(2.95) ²	(2.08) ²
13	82	63	90	84	94	60
14	(3.43) ²	(2.22) ²	(2.14) ²	(4.16) ²	(3.45) ²	(2.29) ²



↑ 図-4



← 図-5